IT-VR-9001-9002-9003.- Vista general desde La Pelarda de la serie del Cretácico Superior de Fonfria donde se ha realizado la serie 01 MH.

[Fuera de Hoja]



IT- VR 9007-9008.- Panoramica en el borde oeste de la Hoja, junto a la Sra de Cucalón. Se aprecía el contacto Trias-Paleozóico y al fondo la secuencia calcarea del Cretacico Superior.



IT-VR-9009-9010.- Panoramica desde Colladicos de la serie Cretácica Superior (45-46-47) de la Srra. de Cucalón. En la parte inferior el Trias en f. Keuper - (33).





IT-VR-9011.- Pequeño pliegue anticlinal de la formación Cuevas-Labradas (35) en el río Aguas vivas junto a Blesa.

IT-VR-9012.- Aspecto de la formación Cañadilla del Santoniense.-Campaniense (49) en el puerto de Fonfria.



IT-VR-9013.- Aspecto de la formación Mosqueruela del - Cenomaniense (46) en el puerto de Fonfria al comienzo de la serie 01 MH.



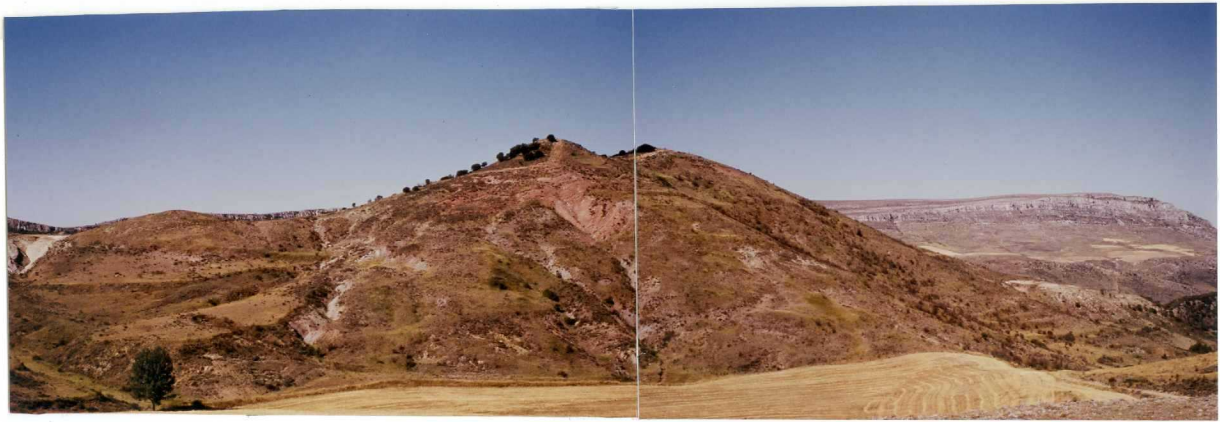
IT-VR-9014.- Aspecto de detalle del contacto entre la formación triasica, en facies Bunt (29) y el paleozóico en las proximidades de Monforte de Moyuela.



IT-VR-9021-9022.- Panoramica de la facies Keuper (33) en el paraje Umbria de la Cañada.



IT-VR-9023-9024.- Panoramica de la facies Keuper (33) al Norte de Colladicos.



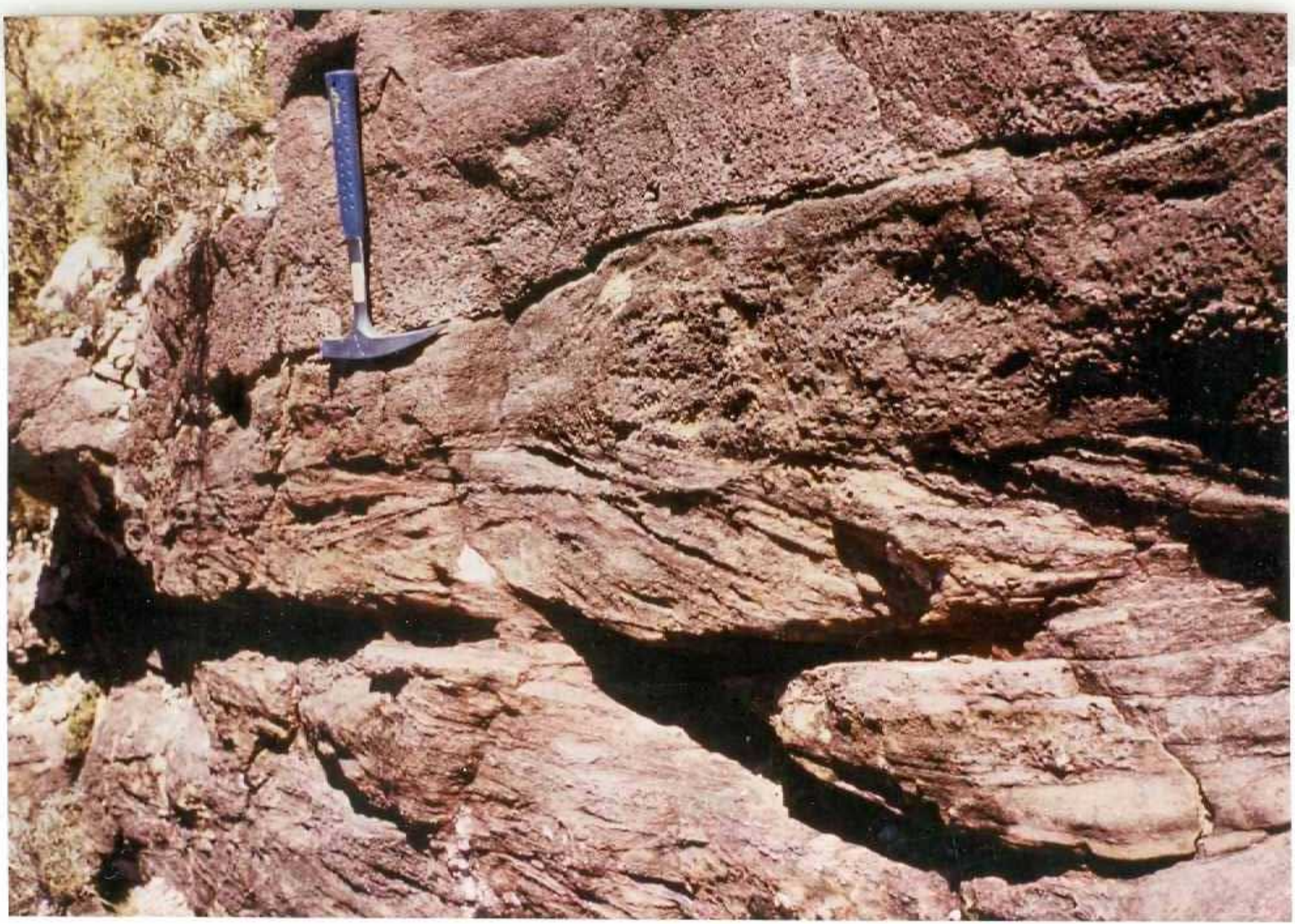


IT-VR-9025.- Detalle del contacto entre las facies - Bunts (29) y las facies Muschelkalk (32) en las proximidades de Monforte de Moyuela.

IT-VR-9026.- Detalle de la formación Buntsandstein (29) hacía techo.



IT-VR-9027.- Detalle de la formación Bunts (29) hacia la base. Areniscas con estratificación - cruzada.



IT-VR-9033-9034.- Panoramica del anticlinal de núcleo facie Keuper (33) en el paraje - "Venta del Cuervo". Los flancos estan constituídos por formación Carniolas de Cortes de Tajuña (34).



IT-VR-9035.- Estructura plegada afectando a las formaciones Utrillas (45) y Cenomaniense (46) en la zona N de Huesa del Cómun.





IT-VR-9036.- Vista general de la unidad Caliza biocláticas del Gargasiense (44) al sur de Blesa, paraje Las Lomillas.

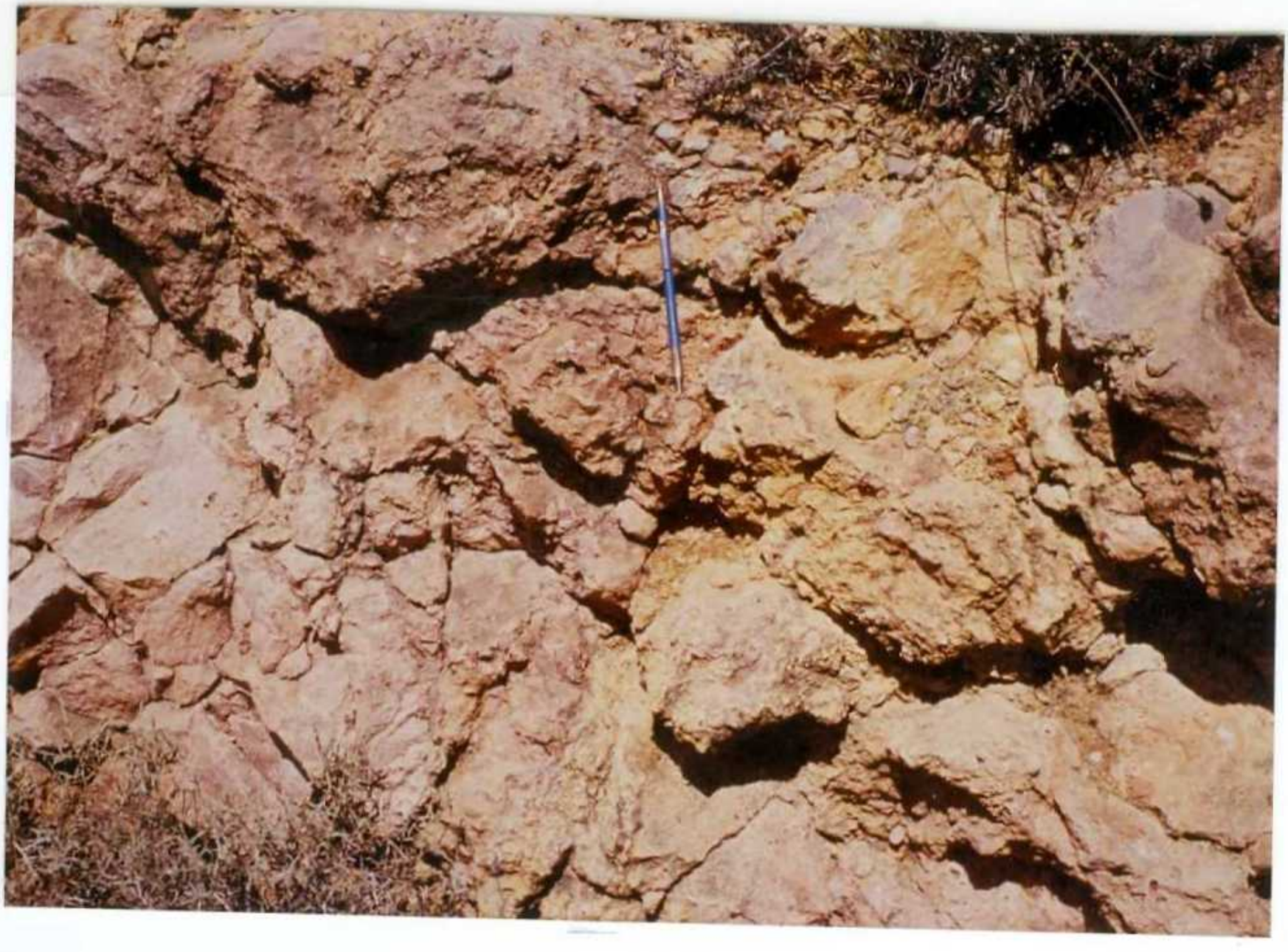
IT-VR-9037.- Detalle de la formación Calizas bioclásticas (44), autentica lumaquela de ostreidos.



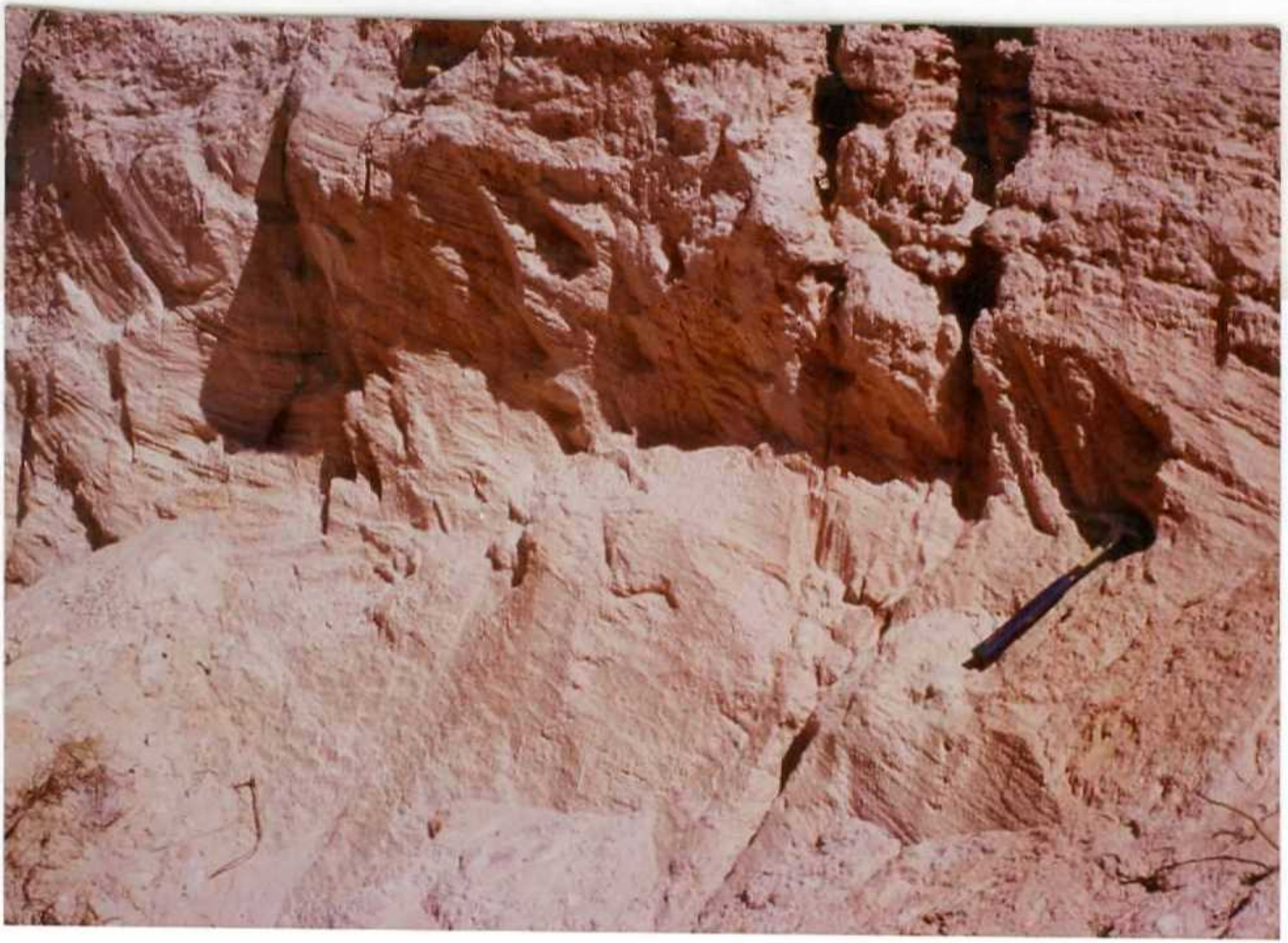
IT-VR-9038.- Vista general del sinclinal de Huesa del Comun. El flanco sur, detras del pueblo, presenta una acusada verticalización.



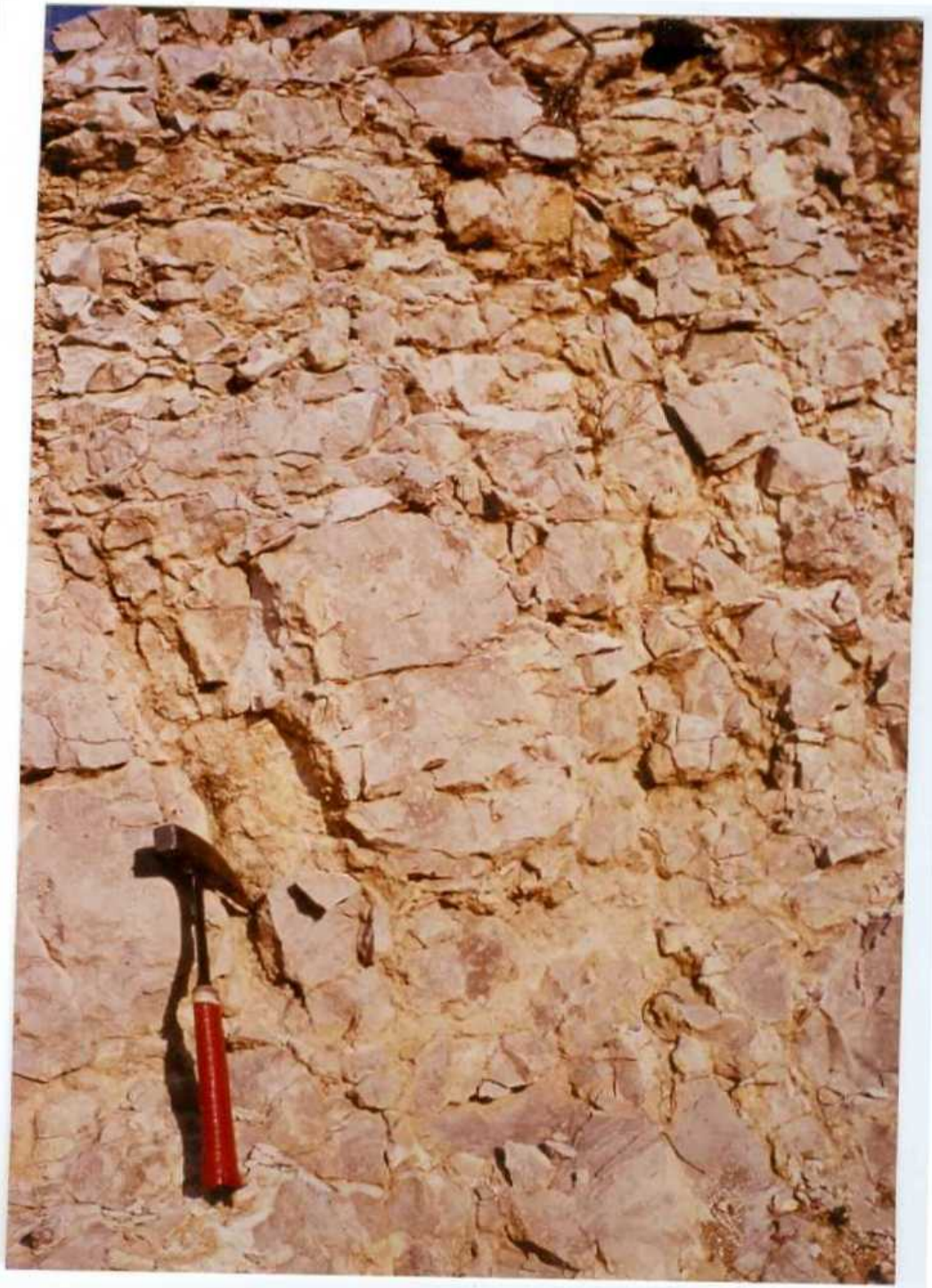
IT-VR-9039.- Detalle de la formación de transito Triá sico-Jurásico (34). Carniolas.



IT-VR-9040.- Detalle de las arenas y areniscas del Albiense en facies Utrillas (45) en las proximidades de la carretera de Huesa - del Comun a Monforte de Moyuela.



IT-VR-9044.- Detalle de la brecha - calcarea de la formación Fortanete - del Campanien se-Maastrich- tiense (50) - del final de la serie de - Fonfria 01 MH.



IT-VR-9103.- Unidad del oligoceno de Huesa (53) donde se observan depósitos de point-bar con acreción lateral.





IT-VR-9104.- Vista general de la formación bioclástica del Cretácico Inferior (44) entre facies Weal s.s. y facies Utrillas presentando una discondancia interna posible "on lap." sinsedimentario.

IT-VR-9105.- Formación de calcarenitas blancas con - Gasteropodos (57) en el borde NE de la - Hoja, correspondiente al Mioceno superior.



IT-VR-9106.- Detalle de la formación de calcarenitas - blancas con Gasteropodos (57).



IT-VR-9107.- Detalle de la formación anterior (57).



IT-VR-9108.- El oligoceno en el sector suroccidental - (53) y donde se ha realizado la serie 11 PG.. (fuera de la hoja). La parte superior de la formación presenta construcciones algales, oncoliticas, con geometría de canal ocasional.



IT-VR-9109.- Detalle de los oncolitos de la unidad descrita en la foto anterior.





IT-VR-9110.- Visión general del miembro Casinos de la formación carbonatada de Chelva (38) en la serie 05 MH.

IT-VR-9111-9112.- Panoramica de la formación Plio-cuaternaria (58) en las proximidades de Plenas. Se observa la discordancia sobre la unidad infrayacente de conglomerado calcáreo (54).



IT-VR-9113.- Cantos de cuarcita bien redondeados, de 2 cm de centilo, que se intercalan entre las calcarenitas de la unidad anterior - (57).



IT-VR-9114-9115.- Vista general del contacto entre la formación carbonatada de Chelva - (38) y la fm. Sot de Chera (39). Al fondo se puede apreciar la fm. - Ritmita de Loringuilla (40). Barranco de las Suertes, al este de Moyue la.



IT-VR-9116.- Aspecto de la formación Cuevas Labradas (35) en el borde este de la Hoja.





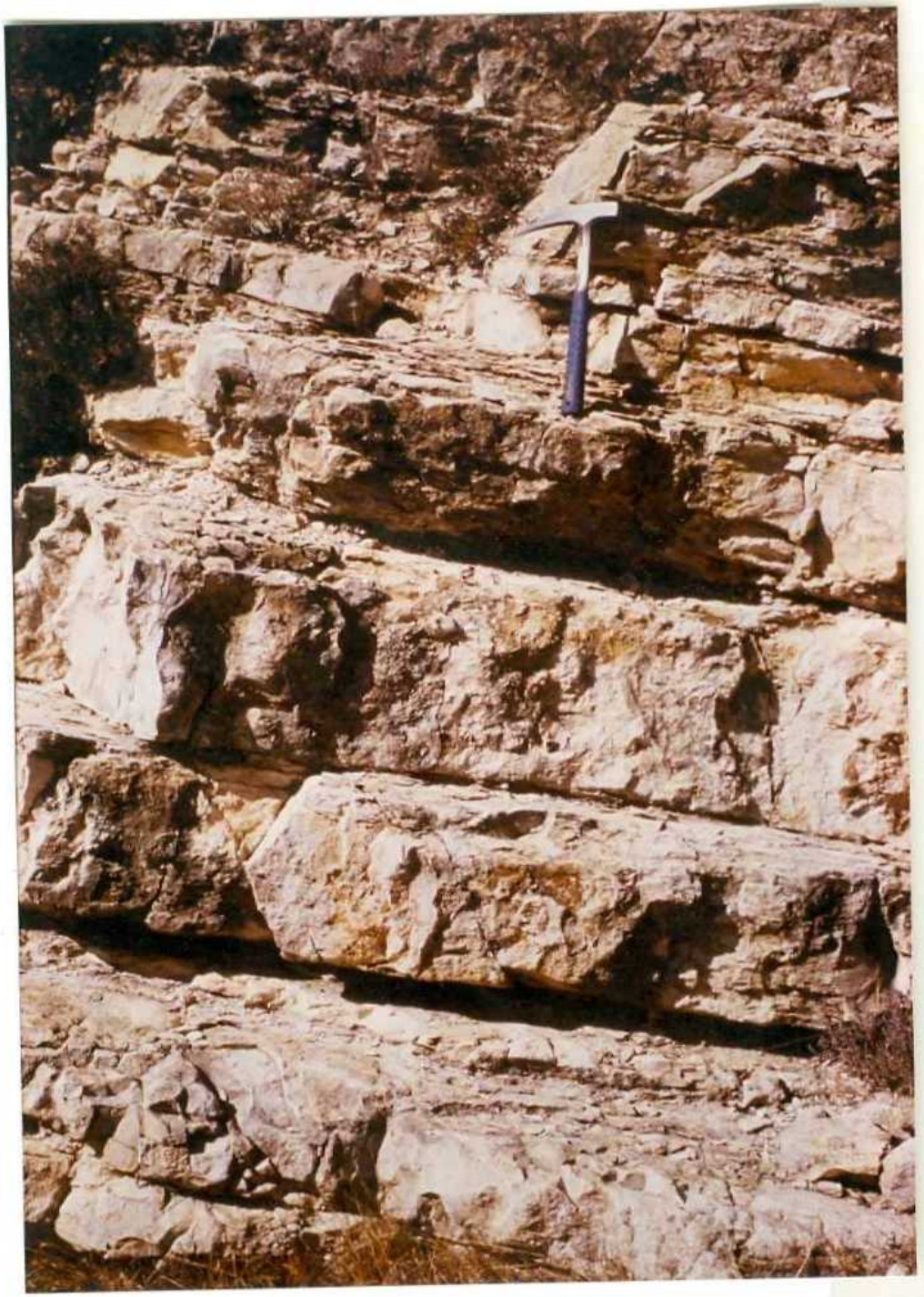
IT-VR-9117.- Aspecto general del sinclinal Albiense - (45) y cerro testigo terciario, en el paraje Otón.

IT-VR-9118-9119-9120.- Panoramica del Jurásico desde Srra. de Carboneras a la Torroya, tomada desde la carretera de Blesa a Moyuela.



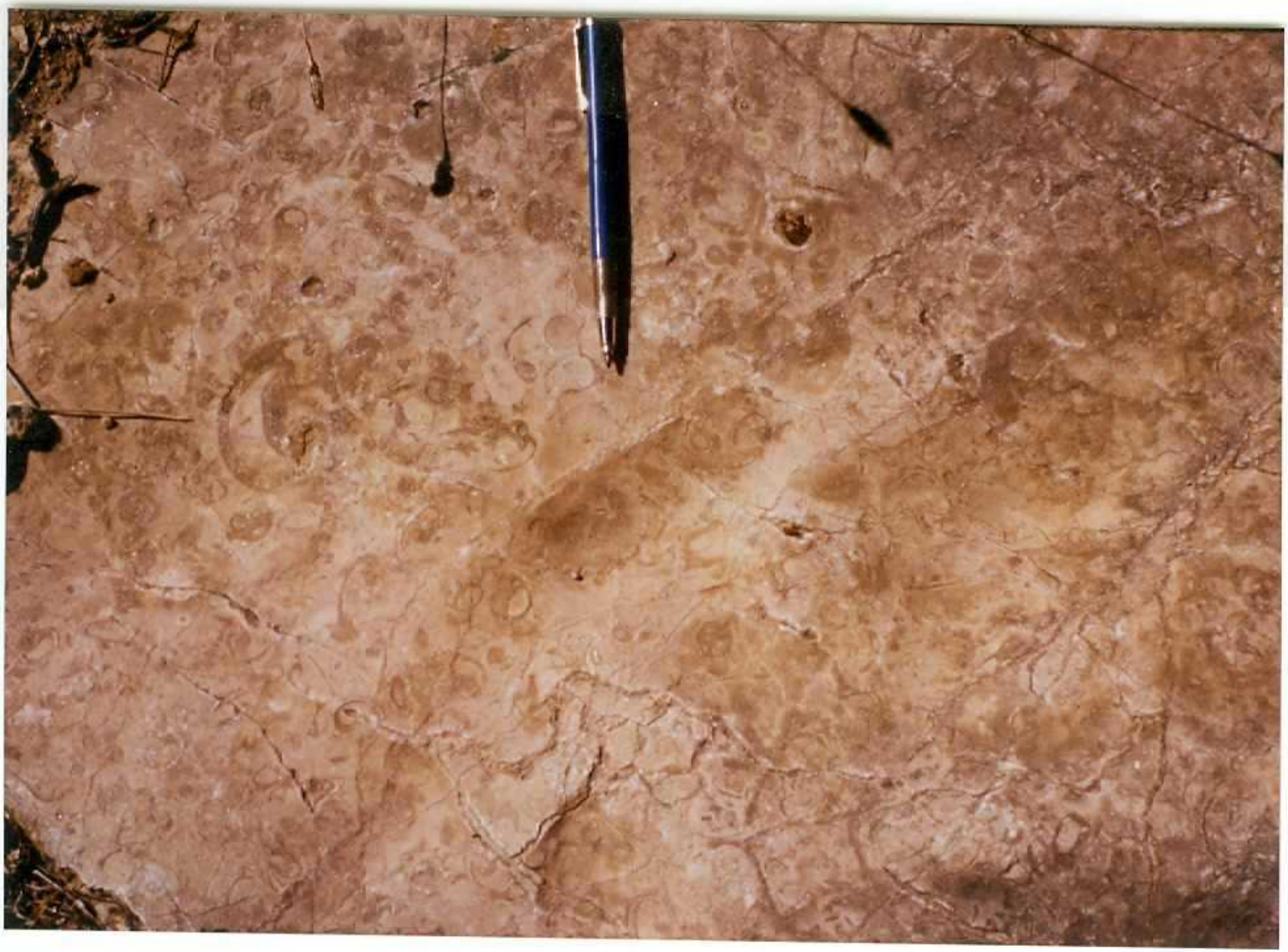


T-VR-9121.- Contacto entre las formaciones Ritmita de Loringuilla (40) y Oncolitos de Higueruela (41) junto al río Moyuela.



IT-VR-9122.- Detalle de la formación Ritmita de Loringuilla (40) junto al río - Moyuela.

IT-VR-9123.- Detalle de la formación oncolitos de Higueruela (41) al norte de Moyuela.



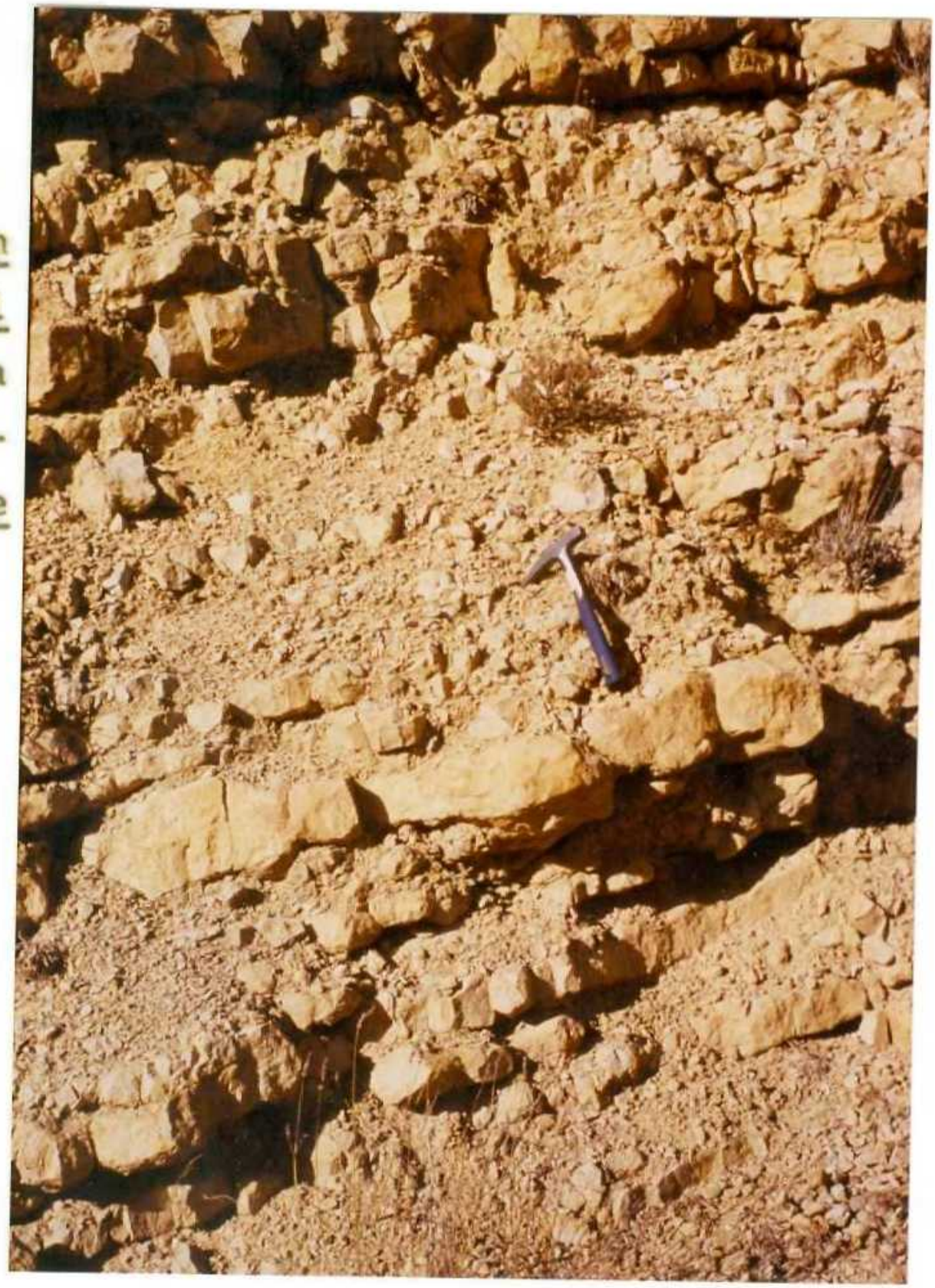


IT-VR-9124.- Niveles de areniscas en la unidad (33) facies Keuper, en el paraje La Manadilla.



IT-VR-9125.- Aspecto general del Cretácico inferior - (42) en el Morenillo, correspondiente a - la serie 06 MH.

IT-VR-9126.- Detalle del miembro Casino de la fotografía anterior.

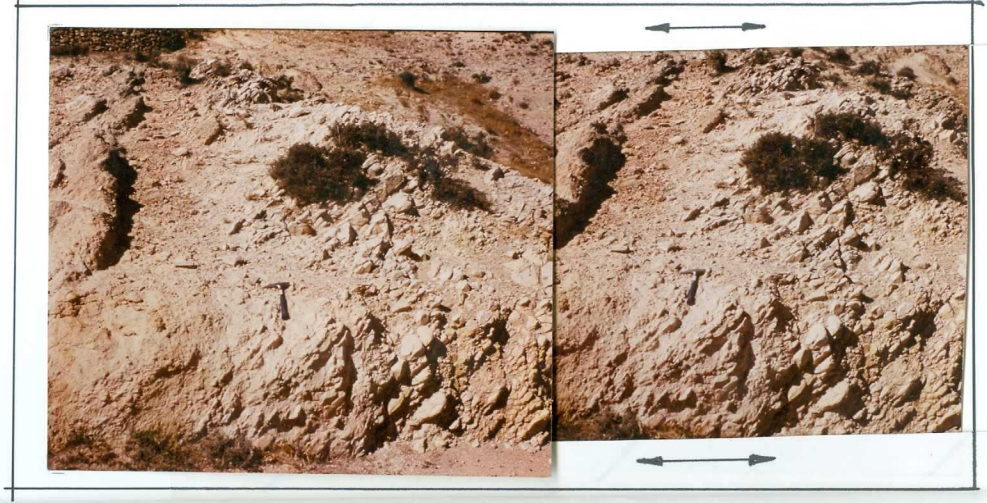


IT-VR-9127-9128.- Formación de los Organos de Montoro del Coniaciense (48) en la serie 02 MH, junto a Huesa del Comun.



IT-VR-9129.- Detalle de los niveles de silex al techo de la formación carbonatada de Chelva.





IT-VR-9130-9131.- Visión estereoscopica del contacto entre el terciario y la form. Ritmita de Loringuilla en las proximidades de Moyuela.

IT-VR-9132.- Aspecto de la raña de la Pelarda y de los bloques cuarcíticos que engloba.



IT-VR-9133-9134.- Visión estereoscopia del contacto entre las margas de la fm. Sot de Cheva y la parte inferior de la fm. Returita de Loringuilla - al este de Moyuela.

